



SPOLM 2007

ISSN 2175-6295

Rio de Janeiro- Brasil, 08 e 09 novembro de 2007.

UMA HEURÍSTICA HÍBRIDA PARA O PROBLEMA DE ESCALONAMENTO DE EMBARCAÇÕES NO PORTO DE IMBETIBA - PETROBRAS

Sandra Regina Coelho

Universidade Candido Mendes – UCAM-Campos
Rua Anita Peçanha, 100, Pq. São Caetano, Campos dos Goytacazes, RJ 28040-320
sandrarobl@yahoo.com.br

Dalessandro Soares Vianna

Universidade Candido Mendes – UCAM-Campos
Rua Anita Peçanha, 100, Pq. São Caetano, Campos dos Goytacazes, RJ 28040-320
dalessandro@ucam-campos.br

Centro Federal de Educação Tecnológica – CEFET-Campos

Rua Dr. Siqueira, 273, Pq. Dom Bosco, Campos dos Goytacazes, RJ 28030-130
dalessandro@cefetcampos.br

Fermín Alfredo Tang Montané

Universidade Candido Mendes – UCAM-Campos
Rua Anita Peçanha, 100, Pq. São Caetano, Campos dos Goytacazes, RJ 28040-320
tang@ucam-campos.br

Resumo

A Petróleo Brasileiro S/A (PETROBRAS) é hoje a maior empresa brasileira no ramo de energia, atuando na exploração, produção, refino, comercialização e transporte de petróleo e seus derivados no Brasil e no exterior. A maior parte da produção de petróleo da empresa está concentrada na bacia de Campos, onde fica localizado o único porto próprio da empresa (porto de Imbetiba – Macaé/RJ). Através de estudos realizados neste porto, constatou-se a necessidade de otimizar, dentre outros, o problema de escalonamento de embarcações. Neste problema, a ordem de atendimento das embarcações deve ser definida e, de acordo com o material que cada uma carrega, as seguintes restrições devem ser respeitadas: cada embarcação tem um subconjunto de píeres que podem atendê-las; cada uma tem uma prioridade de atendimento; e cada uma tem um horário mínimo para atendimento, ou seja, antes deste horário a embarcação não pode ser atendida. Este problema pode ser associado ao “Problema de Escalonamento de Tarefas em Máquinas Paralelas”, onde as máquinas são os píeres e as tarefas são as embarcações.

Este trabalho propõe uma heurística GRASP híbrida que utiliza a técnica VND na etapa de busca local. Três estruturas de vizinhança foram implementadas: *Exchange*, *Interchange* e *Relocation*. Os resultados computacionais mostram que a heurística proposta é mais eficiente que heurísticas GRASP tradicionais quando o custo das soluções obtidas é

comparado e, também, quando os tempos computacionais exigidos são comparados.

Palavras-Chaves: Problema de Escalonamento de Tarefas em Máquinas Paralelas; GRASP; VND; Otimização Combinatória.

Abstract

Petróleo Brasileiro S/A (PETROBRAS) is nowadays the biggest Brazilian company in energy business. It acts at the exploration, production, refine, commercialization and transport of petroleum by products in Brazil and other countries. Most of the petroleum production is concentrated in the Campos basin, where the company port (port of Imbetiba – Macaé/RJ) is located. Studies made at this port show the need of optimize, among others, the problem of towboat scheduling. In this problem, the order of towboat granting must be decided and, according to the material that each one carry, the following restrictions must be respected: each towboat has a subset of piers where it can be granted; each one has a granting priority; and each one has a minimal time where it can be granted, that is, before this time it can not be granted. This problem can be associated to the “Job Scheduling Problem on Parallel Machines”, where the machines are the piers and the jobs are the towboats.

This paper proposes a hybrid GRASP algorithm, which uses the VND technique as local search. Three neighborhood structures were implemented: Exchange, Interchange and Relocation. The computational results show that the proposed algorithm is more efficient than the traditional GRASP algorithms when the obtained solution cost is evaluated and, also, when the computational time required is compared.

Keywords: Job Scheduling Problem on Parallel Machines; GRASP; VND; Combinatorial Optimization.

1. INTRODUÇÃO

A Petróleo Brasileiro S/A (PETROBRAS) iniciou-se no século XX e é hoje a maior empresa brasileira do ramo de energia, atuando na exploração, produção, refino, comercialização e transporte de petróleo e seus derivados no Brasil e no exterior. A estrutura organizacional regula o funcionamento instituindo quatro áreas de negócio: Exploração & Produção, Abastecimento, Gás & Energia e Internacional, e duas de apoio: Financeira e Serviços, além das unidades corporativas ligadas diretamente ao presidente (PETROBRAS, 2006).

Atualmente, a empresa possui 95 plataformas de produção – sendo 72 fixas e 23 flutuantes –, 16 refinarias, 30.318 quilômetros de dutos e 6.154 postos de combustíveis espalhados pelo território nacional, dos quais 631 são próprios (PETROBRAS, 2006).

A maior parte da produção de petróleo da empresa está concentrada na bacia de Campos, onde fica localizado o único porto próprio da empresa (porto de Imbetiba – Macaé/RJ). Através desse porto é feito todo o abastecimento das plataformas da bacia.

Através de estudos realizados no porto de Imbetiba, constatou-se que a empresa apresenta algumas tarefas a serem otimizadas. Se for realizado um estudo em cima destas tarefas, algumas soluções podem ser apresentadas de forma a se ter um melhor aproveitamento das embarcações e do porto de Macaé. O ganho poderia ser substancial para a PETROBRAS e para as empresas contratadas que utilizam o porto de Imbetiba.

Dentre essas tarefas, destaca-se o problema de otimizar o tempo de espera das embarcações no porto. Neste problema, a ordem de atendimento deve ser decidida e, de

acordo com o material que cada embarcação carrega, as seguintes restrições devem ser respeitadas:

- cada embarcação possui um subconjunto de píeres que pode atendê-la. Isso ocorre devido a cada píer estar preparado para o embarque/desembarque de um conjunto de materiais;
- cada embarcação tem uma prioridade de atendimento. A prioridade é dada de acordo com a urgência do material, do tipo de material: perecível ou não, priorizando o atendimento a uma plataforma que no momento está com um nível de produção maior, dentre outros fatores;
- tempo mínimo para atendimento (*release time*), que representa o momento que a plataforma já se encontra a disposição.

Este problema pode ser associado ao Problema de Escalonamento de Tarefas em Máquinas Paralelas – PETMP – (ARROYO & RIBEIRO, 2004; MENDES *et al.*, 2002), onde um conjunto de tarefas, cada uma com um tempo de execução, deve ser organizado para execução em um conjunto de máquinas idênticas, de tal forma que o tempo total de execução seja minimizado. No problema estudado, as tarefas são as embarcações e as máquinas são os píeres, que não são idênticos – cada um preparado para atender a demanda de um subconjunto de materiais. Além disso, as restrições de prioridade e de *release time* devem ser consideradas. A existência deste conjunto de restrições deve-se ao fato do porto de Imbetiba ser um porto privado e pequeno, possuindo regras próprias diferentes das estabelecidas em grandes portos. Este fato tornou impraticável comparar os estudos realizados com outros trabalhos já realizados para outros portos.

Este trabalho propõe um algoritmo GRASP híbrido que utiliza a técnica VND na fase de busca local. Três estruturas de vizinhança foram implementadas: *Exchange*, *Interchange* e *Relocation*. A literatura sobre a classe específica de PETMP tratada neste trabalho é praticamente nula. O algoritmo proposto é comparado com algoritmos GRASP tradicionais propostos e publicados (VIANNA & COELHO, 2006) pelos próprios autores deste trabalho. Os resultados computacionais mostram que o algoritmo proposto é mais eficiente do que os outros algoritmos quando a qualidade da solução obtida é comparada e, também, quando os tempos computacionais são comparados.

O restante deste trabalho está organizado da seguinte maneira: na Seção 2 são apresentados o problema PETMP, a literatura relacionada e a classe do PETMP abordada neste trabalho. O algoritmo GRASP híbrido utilizando a técnica VND na etapa de busca local é detalhado na Seção 3. Na Seção 4 são apresentados os resultados computacionais. Por fim, são apresentadas a conclusão e as referências bibliográficas.

2. PROBLEMA DE ESCALONAMENTO DE TAREFAS EM MÁQUINA PARALELAS (PETMP)

De acordo com Mendes *et al.* (2002), o PETMP pode ser definido da seguinte maneira: um conjunto de n tarefas deve ser organizado em m máquinas paralelas idênticas com o objetivo de minimizar o *makespan* – tempo necessário para as n tarefas completarem a sua execução. Cada máquina possui um tempo de *setup* dependente, ou seja, o tempo necessário para preparar a máquina para atender uma tarefa depende de qual tarefa acabou de ser executada por esta máquina.

Na literatura relacionada ao PETMP encontra-se: um modelo de programação linear inteira, proposto por Dearing e Henderson (1984), para a alocação do tear em uma tecelagem; um método heurístico, proposto por Sumicharst e Baker (1987), baseado na solução de uma

série de subproblemas de programação inteira 0-1 que melhora 2 resultados de Dearing e Henderson (1984); uma heurística busca tabu é proposta por França *et al.* (1996); Arroyo e Ribeiro (2004) propõem um algoritmo genético para o PETMP com múltiplos objetivos; e uma heurística busca tabu, proposta por Mendes *et al.* (2002), para o PETMP não preemptivo.

A classe de problema abordada neste trabalho, PETMP*, pode ser definida da seguinte maneira: um conjunto de n tarefas deve ser organizado em m máquinas **não** idênticas. O tempo de *setup* é independente, ou seja, é o mesmo independente de quem foi a tarefa que acabou de ser executada. Sendo assim, os tempos de *setup* são desconsiderados neste trabalho. Cada tarefa possui um subconjunto de máquinas que podem executá-la, um tempo mínimo para seu atendimento (*release time*) e uma prioridade.

Cada tarefa i possui uma prioridade p_i . Quanto maior for o valor de p_i , mais prioritária é a tarefa i . Cada tarefa i também possui um *release time* rt_i . Sendo at_i o momento no qual a tarefa i iniciou efetivamente seu atendimento, pode-se calcular o tempo de espera, te_i , da tarefa i da seguinte forma: $te_i = at_i - rt_i$. O objetivo ao se resolver o PETMP* é minimizar o tempo de espera total, levando em conta a prioridade de cada tarefa. O tempo de espera total pode ser calculado da seguinte forma:

$$\sum_{i=1}^n p_i \times te_i = \sum_{i=1}^n p_i \times (at_i - rt_i).$$

Na literatura, Vianna e Coelho (2006) propuseram algumas heurísticas GRASP para o problema PETMP*, onde três algoritmos de construção e duas vizinhanças foram desenvolvidos. Neste trabalho é proposto um algoritmo GRASP híbrido utilizando a técnica VND na fase de busca local. Este algoritmo utiliza, na fase de construção, o algoritmo **ETQM1** – será descrito em detalhes na Subseção 3.1 – proposto em (VIANNA & COELHO, 2006). Este algoritmo construtivo se destacou nos experimentos realizados por Vianna e Coelho (2006), onde este foi comparado com outros dois algoritmos, **ETP** e **ETQM2**, também propostos no mesmo trabalho.

Na etapa de busca local são usadas três estruturas de vizinhanças: duas utilizadas também por Vianna e Coelho (2006) – **Exchange** e **Interchange**; e mais uma implementada neste trabalho, **Relocation**, que será descrita em detalhes na Subseção 3.2.3. O algoritmo VND implementado será comentado na Subseção 3.2.

3. HEURÍSTICA GRASP+VND PROPOSTA

GRASP – *Greedy Randomized Adaptive Search Procedure* – (FEO & RESENDE, 1995; RESENDE & RIBEIRO, 2003) é uma metaheurística de múltiplas partidas, na qual cada iteração consiste de duas fases: construção e busca local. A primeira fase constrói uma solução viável utilizando um algoritmo guloso randomizado, cuja vizinhança é investigada até que um ótimo local seja encontrado durante a fase de busca local. A melhor solução entre todas é definida como resultado.

Neste trabalho é proposto um algoritmo GRASP híbrido que utiliza a técnica VND – *Variable Neighborhood Descent* – (MLADENOVIC & HANSEN, 1997) na etapa de busca local. Este algoritmo utiliza na etapa de construção o algoritmo **ETQM1** (VIANNA & COELHO, 1996), que será descrito em detalhes na Subseção 3.1, e na etapa de busca local a técnica VND utiliza três estruturas de vizinhança que serão comentadas na Subseção 3.2.

3.1. HEURÍSTICA CONSTRUTIVA ETQM1

Nesta heurística construtiva é considerada, primeiramente, a quantidade de máquinas que podem executar determinada tarefa, tomando-se como fator decisório as tarefas que têm o menor número de máquinas para executá-las. O intuito desta estratégia é diminuir o tempo de espera total, uma vez que as tarefas com um menor número de possíveis máquinas que podem atendê-las são atendidas na frente.

Dessa forma, inicialmente, as tarefas são classificadas, em ordem crescente pela quantidade de máquinas que podem atendê-las. Assim, as tarefas que só podem ser atendidas por uma máquina estarão no início da fila. Quando mais de uma tarefa possui a mesma quantidade de máquinas para atendê-la, o desempate é dado pela prioridade das tarefas (considerando-se a ordem decrescente das prioridades).

Para que a cada iteração do algoritmo GRASP uma solução inicial diferente seja construída, em vez de sempre escolher a primeira tarefa da fila, escolhe-se, aleatoriamente, uma entre as α primeiras tarefas, onde α é um parâmetro de entrada do algoritmo.

Ao se inserir uma tarefa i na máquina, deve-se escolher a melhor posição considerando todas as posições disponíveis na máquina, a partir do *release time* da tarefa i , de forma que o tempo de espera total seja o menor possível. Quando uma tarefa puder ser executada por mais de uma máquina, escolhe-se a máquina onde a tarefa não ocasionar desperdício de tempo ou ocasionar o menor tempo de espera possível.

Procedimento ETQM1 (α)

Entrada

α – quantidade de tarefas a ser feita a aleatoriedade.

Saída

s – solução construída.

Início

01. Ordene crescentemente a lista L de tarefas pela quantidade de máquinas que pode atender e, em caso de empate, pela prioridade;
 02. **Para** $i \leftarrow 1$ até n **faça**
 03. $b \leftarrow$ escolha, aleatória, de uma das α primeiras tarefas de L ainda não atendidas;
 04. $best_pos \leftarrow \infty$;
 05. **Para** cada máquina j que pode atender a tarefa b **faça**
 06. $y \leftarrow$ melhor posição na máquina j para inserir a tarefa b , ou seja, a posição que causa o menor tempo de espera;
 07. **Se** $y < best_pos$ **então**
 08. $best_pos \leftarrow y$;
 09. $best_mac \leftarrow j$;
 10. **Fim-se**
 11. **Fim-para**
 12. Insira a tarefa b na posição $best_pos$ da máquina $best_mac$ da solução s ;
 13. Calcule o novo tempo de espera acumulado da máquina $best_mac$;
 14. **Fim-para**
 15. **Retorne** s ;
- Fim-ETQM1**

Figura 1. Algoritmo **ETQM1** desenvolvido em (VIANNA & COELHO, 2006).

Para se inserir uma tarefa na máquina, consideram-se todas as posições livres da máquina de forma que será considerada a posição que causar o menor tempo de espera final na máquina.

A Figura 1 apresenta o algoritmo **ETQM1**, que recebe como parâmetro de entrada o grau de aleatoriedade, α , e retorna como saída a solução s construída. Na linha 1, a lista com todos as tarefas é ordenada crescentemente pela quantidade de máquinas que pode atender cada tarefa e pela prioridade. O laço nas linhas 2-14 garante que todas as tarefas serão inseridas na solução s . Na linha 4, uma tarefa b é escolhida aleatoriamente entre as α primeiras da lista ainda não inseridas na solução s . O laço nas linhas 5-11 escolhe, nas máquinas que podem atender a tarefa b , a melhor posição para inserir a tarefa b . Esta inserção é realizada na linha 12. Na linha 14, a solução s é retornada.

3.2. BUSCA LOCAL USANDO VND

O algoritmo da Figura 2 apresenta o pseudocódigo do algoritmo VND desenvolvido que utiliza três estruturas de vizinhança: *Exchange*, *Interchange* e *Relocation*, que serão descritas em detalhes nas Subseções 3.2.1, 3.2.2 e 3.2.3, respectivamente. Este algoritmo recebe como parâmetro de entrada, além das três vizinhanças, uma solução viável s_0 a ser refinada. A primeira vizinhança a ser analisada é a vizinhança N_1 (linha 2). O laço nas linhas 3-11 garante que todas as estruturas de vizinhanças serão analisadas. Se após a aplicação da busca local na vizinhança N_k , a solução encontrada for melhor que a original, a busca reinicia (linha 7) com a vizinhança N_1 . Caso contrário, a busca continua na próxima vizinhança (linha 9). Na linha 12 a solução s refinada é retornada.

<p>Procedimento VND (s_0, N_1, N_2, N_3)</p> <p>Entrada</p> <p>x_0 - uma solução viável para o problema; N_1 - estrutura de vizinhança <i>Exchange</i>; N_2 - estrutura de vizinhança <i>Interexchange</i>; N_3 - estrutura de vizinhança <i>Relocation</i>.</p> <p>Saída</p> <p>s - melhor solução encontrada.</p> <p>Início</p> <p>01. $s \leftarrow s_0$; 02. $k \leftarrow 1$; 03. Enquanto $k \leq 3$ faça 04. Aplique uma busca local em s usando a vizinhança N_k. Seja s' o ótimo local; 05. Se $f(x') < f(x)$ então 06. $s \leftarrow s'$; 07. $k \leftarrow 1$; 08. Senão 09. $k \leftarrow k+1$; 10. Fim-se 11. Fim-enquanto 12. Retorne s; Fim-VND</p>
--

Figura 2. Procedimento VND utilizado.

3.2.1. Vizinhança *Exchange*

Neste procedimento de busca local, a partir de uma solução inicial, considera-se a troca de

posições entre duas embarcações que se encontram na fila de atendimento de um mesmo píer. A Figura 3 apresenta o pseudocódigo do procedimento de busca local analisando esta vizinhança, que recebe como parâmetro de entrada a solução s a ser refinada. O laço nas linhas 2-20 garante que a busca continuará enquanto existir um vizinho melhor que a solução corrente s . O laço nas linhas 4-13 procura a melhor troca entre tarefas de uma mesma máquina que pode ser realizada. Se a melhor troca levar a uma solução melhor que a solução corrente, esta troca é realizada na linha 15. Caso contrário o procedimento é encerrado. A solução s refinada é retornada na linha 21.

<p>Procedimento LS_Exchange (s)</p> <p>Entrada s – solução viável.</p> <p>Saída s – solução refinada</p> <p>Início</p> <p>01. $Terminou \leftarrow false$;</p> <p>02. Enquanto não terminou faça</p> <p>03. $Melhor_troca \leftarrow \infty$;</p> <p>04. Para cada tarefa i faça</p> <p>05. Para cada tarefa j ($j \neq i$) da mesma máquina de i faça</p> <p>06. $c \leftarrow$ custo adicional da troca de posição das tarefas i e j;</p> <p>07. Se $c < Melhor_troca$ então</p> <p>08. $Melhor_troca \leftarrow c$;</p> <p>09. $Melhor_i \leftarrow i$;</p> <p>10. $Melhor_j \leftarrow j$;</p> <p>11. Fim-se</p> <p>12. Fim-para</p> <p>13. Fim-para</p> <p>14. Se $Melhor_troca < 0$ então</p> <p>15. Realize a troca das tarefas $Melhor_i$ e $Melhor_j$;</p> <p>16. Avalie a solução s após a troca;</p> <p>17. Senão</p> <p>18. $Terminou \leftarrow true$;</p> <p>19. Fim-se</p> <p>20. Fim-Enquanto</p> <p>21. Retorne s;</p> <p>Fim- LS_Exchange</p>
--

Figura 3. Algoritmo **LS_Exchange**.

3.2.2. Vizinhança *Interchange*

Neste procedimento de busca local, a partir de uma solução inicial, considera-se a troca de posições entre duas embarcações que se encontram na fila de atendimento de píeres diferentes. A Figura 4 apresenta o pseudocódigo do procedimento de busca local utilizando esta vizinhança, que recebe como parâmetro de entrada a solução s a ser refinada. O laço nas linhas 2-20 garante que a busca continuará enquanto existir um vizinho melhor que a solução corrente s . O laço nas linhas 4-13 procura a melhor troca entre tarefas de máquinas diferentes que pode ser realizada. Se a melhor troca levar a uma solução melhor que a solução corrente,

esta troca é realizada na linha 15. Caso contrário o procedimento é encerrado. A solução s refinada é retornada na linha 21.

<p>Procedimento LS_Interchange (s)</p> <p>Entrada s – solução viável.</p> <p>Saída s – solução refinada</p> <p>Início</p> <p>01. <i>Terminou</i> \leftarrow false;</p> <p>02. Enquanto não <i>terminou</i> faça</p> <p>03. <i>Melhor_troca</i> \leftarrow ∞;</p> <p>04. Para cada tarefa i faça</p> <p>05. Para cada tarefa j de uma outra máquina que também pode atender a tarefa i faça</p> <p>06. $c \leftarrow$ custo adicional da troca de posição das tarefas i e j;</p> <p>07. Se $c < \textit{Melhor_troca}$ então</p> <p>08. <i>Melhor_troca</i> \leftarrow c;</p> <p>09. <i>Melhor_i</i> \leftarrow i;</p> <p>10. <i>Melhor_j</i> \leftarrow j;</p> <p>11. Fim-se</p> <p>12. Fim-para</p> <p>13. Fim-para</p> <p>14. Se <i>Melhor_troca</i> < 0 então</p> <p>15. Realize a troca das tarefas <i>Melhor_i</i> e <i>Melhor_j</i>;</p> <p>16. Avalie a solução s após a troca;</p> <p>17. Senão</p> <p>18. <i>Terminou</i> \leftarrow true;</p> <p>19. Fim-se</p> <p>20. Fim-Enquanto</p> <p>21. Retorne s;</p> <p>Fim- LS_Interchange</p>

Figura 4. Algoritmo **LS_Interchange**.

3.2.3. Vizinhança *Relocation*

Neste procedimento de busca local, a partir de uma solução inicial, considera-se a migração de uma tarefa que está em um berço j para outro berço k que também é capaz de atendê-la. A Figura 5 apresenta o pseudocódigo do procedimento de busca local utilizando esta vizinhança, que recebe como parâmetro de entrada a solução s a ser refinada. O laço nas linhas 2-21 garante que a busca continuará enquanto existir um vizinho melhor que a solução corrente s . O laço nas linhas 4-14 procura a melhor realocação entre tarefas de máquinas diferentes. Se a melhor troca levar a uma solução melhor que a solução corrente, esta troca é realizada na linha 16. Caso contrário o procedimento é encerrado. A solução s refinada é retornada na linha 22.

<p>Procedimento LS_Relocation (s)</p> <p>Entrada s – solução viável.</p> <p>Saída</p>

```

s – solução refinada
Início
01. Terminou ← false;
02. Enquanto não terminou faça
03.   Melhor_realocação ← ∞;
04.   Para cada tarefa i faça
05.     Para cada posição pos de uma outra máquina macj que também pode atendê-la faça
06.       c ← custo adicional da retirada da tarefa i da máquina atual e sua inserção na
           posição pos da máquina macj;
07.       Se c < Melhor_realocação então
08.         Melhor_realocação ← c;
09.         Melhor_i ← i;
10.         Melhor_macj ← macj;
11.         Melhor_pos ← pos;
12.       Fim-se
13.     Fim-para
14.   Fim-para
15.   Se Melhor_troca < 0 então
16.     Realize a retirada da tarefa Melhor_i de sua máquina atual e a sua inserção na posição
           Melhor_pos da máquina Melhor_macj;
17.     Avalie a solução s após a realocação;
18.   Senão
19.     Terminou ← true;
20.   Fim-se
21. Fim-Enquanto
22. Retorne s;
Fim- LS_Relocation

```

Figura 5. Algoritmo **LS_Relocation**.

4. RESULTADOS COMPUTACIONAIS

Todos os experimentos computacionais deste trabalho foram realizados em um Notebook Compaq Presario R3000 com processador Athlon 3200 e 520Mb de memória RAM.

O algoritmo proposto, bem como os algoritmos GRASP usados para efeito de comparação, foram implementados utilizando a linguagem de programação C.

Na Subseção 4.1 serão apresentados os algoritmos GRASP que foram implementados para validação do algoritmo proposto. Os problemas testes utilizados nos experimentos serão discutidos na Subseção 4.2. Na Subseção 4.3 serão mostrados os experimentos realizados.

4.1. HEURÍSTICAS GRASP

Foram implementados, para efeito de comparação, três algoritmos GRASP. Todos eles utilizam o procedimento **ETQM1** na etapa de construção e respeitam o procedimento GRASP padrão apresentada na Figura 6. O que diferencia estas estratégias é a estrutura de vizinhança utilizada na etapa de busca local.

Procedimento GRASP (N_{iter}, α)

Entrada

N_{iter} - número de iterações GRASP;

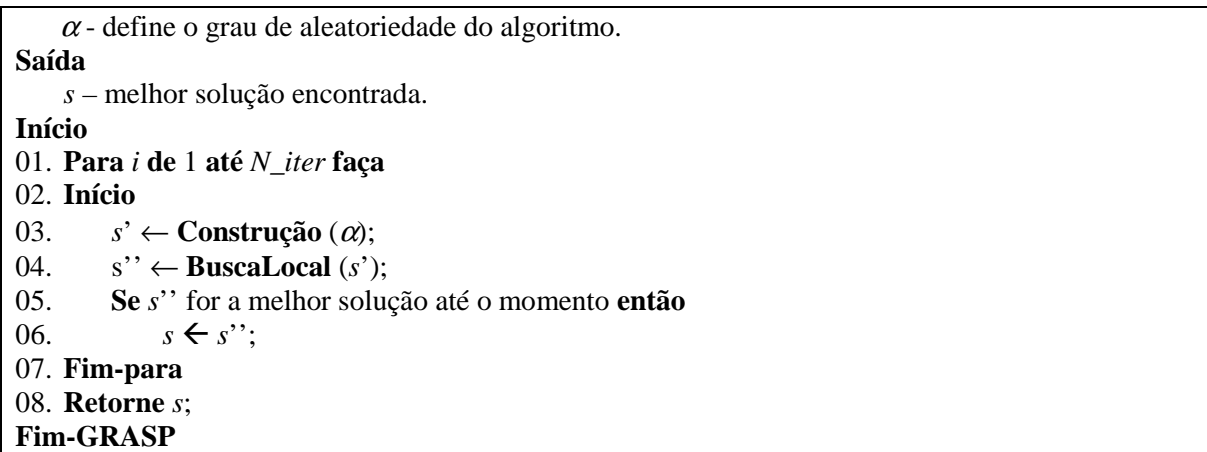


Figura 6. Algoritmo GRASP padrão.

Os três algoritmos GRASP implementados são:

- **GRASP_Ex** – utiliza o procedimento **LS_Exchange** na etapa de busca local;
- **GRASP2_Inter** – utiliza o procedimento **LS_Interchange** na etapa de busca local;
- **GRASP2_Re** – utiliza o procedimento **LS_Relocation** na etapa de busca local.

4.2. PROBLEMAS TESTES

Para realizar uma comparação entre o algoritmo proposto e os algoritmos GRASP, descritos na Subseção 4.1, foram usados os 16 problemas testes criados por Vianna e Coelho (2006), que tratava do mesmo problema abordado neste trabalho, mas usando parâmetros que se aproximassem de um caso real do problema de otimizar o tempo de espera das embarcações no porto de Imbetiba (Macaé/RJ), problema que motivou este trabalho. Estes problemas testes possuem $m = 5$ a 8 píeres (máquinas) e o intervalo de tempo a ser escalonado variando de $T = 48$ a 120 horas. A Tabela 1 mostra, para cada problema teste, o número de píeres do problema (m) e o tempo total para escalonamento (T).

Em (VIANNA & COELHO, 2006), os outros parâmetros destes problemas testes foram definidos da seguinte forma. O *release time* (rt) de cada embarcação foi definido aleatoriamente entre 0 e $(T-1)$ horas. O tempo de embarque/desembarque de uma embarcação (at) foi definido aleatoriamente entre 1 e 24 horas. A quantidade de embarcações, n , do problema foi definida pela seguinte fórmula: $(m*T)/12$, onde o denominador representa o tempo médio de atendimento (embarque/desembarque) de uma embarcação (tarefa) . A prioridade de atendimento de cada embarcação foi definida aleatoriamente entre os valores de 0 a 5.

Tabela 1 – Problemas testes.

Problema teste	Número de píeres (m)	Intervalo de tempo (T) em horas
Ins5-48	5	48
Ins5-72	5	72
Ins5-96	5	96
Ins5-120	5	120
Ins6-48	6	48
Ins6-72	6	72

Ins6-96	6	96
Ins6-120	6	120
Ins7-48	7	48
Ins7-72	7	72
Ins7-96	7	96
Ins7-120	7	120
Ins8-48	8	48
Ins8-72	8	72
Ins8-96	8	96
Ins8-120	8	120

4.3. EXPERIMENTOS REALIZADOS

No primeiro experimento realizado, o algoritmo **GRASP+VND** proposto e cada algoritmo GRASP descrito na Subseção 4.1 foram executados durante $N_{iter}=1000$ iterações para cada problema teste descrito na Tabela 1. Este processo foi repetido cinco vezes, variando a semente de geração de números aleatórios. Para a geração de números aleatórios neste trabalho foi usada uma versão na linguagem de programação C do gerador descrito em [Schrage, 1979].

A Tabela 2 apresenta os custos (tempo de espera total) e os tempos (em segundos) obtidos, para cada problema teste, pelo algoritmo proposto e pelos outros algoritmos GRASP. Nesta tabela foram destacados, em negrito, os melhores custos obtidos para cada problema teste. O algoritmo **GRASP+VND** obteve os melhores custos para 12 dentre os 16 problemas testes. Para os outros 4, o algoritmo **GRASP_Re**, que utiliza a vizinhança *Relocation*, obteve os melhores custo. Quando os tempos computacionais são comparados, o algoritmo **GRASP+VND** sempre obteve tempos melhores. Isto acontece pois, utilizando as diferentes estruturas de vizinhança, a convergência na etapa de busca local é mais rápida.

Tabela 2. Resultados do primeiro experimento.

Problema Teste	GRASP_Ex		GRASP_Inter		GRASP_Re		GRASP+VND	
	Custo	Tempo	Custo	Tempo	Custo	Tempo	Custo	Tempo
Ins5-48	332	61	335	69,9	323	72,5	327	15
Ins5-72	571	85,4	607	102,7	571	108,8	568	22,76
Ins5-96	1022	129,5	1052	200,6	1085	208,3	992	44,12
Ins5-120	1536	261,8	1585	366,4	1448	388,7	1423	80
Ins6-48	425	96,2	426	113,1	414	116,6	421	24,44
Ins6-72	1169	140,2	1169	176,8	1159	188,1	1147	39,02
Ins6-96	1650	280,1	1693	379,6	1623	398,8	1620	82,14
Ins6-120	1054	432,8	1006	578,3	1050	613,3	958	125,5
Ins7-48	573	128,3	561	149	561	153,9	560	32,66
Ins7-72	1194	212,8	1516	267,9	1144	284,1	1136	59,08
Ins7-96	2161	333,1	2142	522,5	1901	551,8	1968	115,5
Ins7-120	2058	640,7	2138	898,9	1870	969,4	1987	196,34
Ins8-48	778	167,2	788	186,2	784	194,2	767	40,8
Ins8-72	1830	336,5	1791	427,3	1796	447,2	1770	94,78
Ins8-96	1656	561,4	1727	751,5	1731	797,5	1657	163,8
Ins8-120	1970	824,2	1979	1187	1943	1267,7	1822	259,36

Uma vez que o algoritmo **GRASP+VND** sempre apresentou um tempo menor no primeiro experimento, foi realizado um segundo experimento, onde foi verificado como os outros algoritmos se comportariam caso interrompessem a sua execução quando atingisse o tempo computacional gasto pelo algoritmo **GRASP+VND**. Deste modo, a condição de parada dos algoritmos GRASP foi alterada para o tempo gasto pelo algoritmo **GRASP+VND**. Tabela 3 apresenta os custos obtidos por cada algoritmo.

Tabela 3. Resultados do segundo experimento.

<i>Problema</i>	GRASP_Ex	GRASP_Inter	GRASP_Re	GRASP+VND
<i>Teste</i>	<i>Custo</i>	<i>Custo</i>	<i>Custo</i>	<i>Custo</i>
Ins5-48	346	337	370	327
Ins5-72	571	579	571	568
Ins5-96	1023	1067	1084	992
Ins5-120	1538	1549	1599	1423
Ins6-48	440	426	456	421
Ins6-72	1159	1167	1169	1147
Ins6-96	1646	1673	1689	1620
Ins6-120	1044	1052	1037	958
Ins7-48	567	561	573	560
Ins7-72	1224	1577	1592	1136
Ins7-96	2052	2012	1962	1968
Ins7-120	2242	2179	2450	1987
Ins8-48	754	790	784	767
Ins8-72	1783	1779	1847	1770
Ins8-96	1713	1710	1718	1657
Ins8-120	1990	1943	2066	1822

Neste novo experimento percebe-se ainda mais a superioridade do algoritmo **GRASP+VND**. Em 15 dos 16 problemas testes, o custo obtido pelo algoritmo proposto foi melhor do queo dos outros algoritmos. Apenas na instância “Ins7-96” o algoritmo proposto foi superado por 0,3%.

5. CONCLUSÃO

Este trabalho surgiu da necessidade de se resolver o problema de minimizar o tempo de espera das embarcações no porto de Imbetiba (Macaé/RJ). Este porto, por ser um porto pequeno e exclusivo da PETROBRAS, possui regras próprias que impedem a comparação com outros estudos realizados para outros portos. Este problema foi associado ao problema de escalonamento de tarefas em máquinas paralelas (ARROYO & RIBEIRO, 2004; DEARING & HENDERSON, 1984; FRANÇA *et al.*, 1996; MENDES *et al.*, 2002; SUMICHRIST & BAKER, 1987), que é NP-difícil. Desta maneira, uma boa estratégia para resolvê-lo é fazer o uso de metaheurísticas (DRUMMOND *et al.*, 2001; OCHI *et al.*, 1998; VIANNA *et al.*, 1999).

O algoritmo GRASP híbrido proposto, **GRASP+VND**, mostrou-se, nos experimentos realizados, eficiente para a classe do Problema de Escalonamento de Tarefas em Máquinas Paralelas abordada. Em um dos experimentos realizados, onde o mesmo tempo de execução foi dado a todos os algoritmos, o algoritmo proposto obteve o melhor resultado para 15 dos 16 problemas testes, sendo superado apenas em uma instância por uma diferença pequena. Isso

demonstra que utilizar um procedimento que utiliza diferentes estruturas de vizinhança, como é o caso do VND, pode trazer benefícios quando incorporada a outra metaheurística.

AGRADECIMENTOS

Este trabalho foi parcialmente financiado pelo Conselho Nacional de Desenvolvimento Científico e Tecnológico – CNPq.

REFERÊNCIAS BIBLIOGRÁFICAS

ARROYO, J. E. C., RIBEIRO, R. L. P. Algoritmo Genético para o Problema de Escalonamento de Tarefas em Máquinas Paralelas com Múltiplos Objetivos. *In: XXXVI Simpósio Brasileiro de Pesquisa Operacional*, v.1, p.1-11, 2004.

DEARING, P. M., HENDERSON, R. A. Assigning looms in a textile weaving operation with changeover limitations. *Production and Inventory Management* 25, 23-31, 1984.

DRUMMOND, L. M. A., OCHI, L. S., VIANNA, D. S. An asynchronous parallel metaheuristic for the period vehicle routing problem. *Future Generation Computer Systems Journal* 17(4), 397-386, 2001.

FEO, T.A., RESENDE, M.G.C. Greedy randomized adaptive search procedure. *Journal of Global Optimization* 6, 109-133, 1995.

FRANÇA, P. M., GENDREAU, M., LAPORT, G., MULLER, F. A tabu search heuristic for the multiprocessor scheduling problem with sequence dependent setup times. *International Journal of Production Economics* 43, 79-89, 1996.

MENDES, A., MÜLLER, F. M., FRANÇA, P. M., MOSCATO, P. Comparing Meta-Heuristic Approaches For Parallel Machine Scheduling Problems. *Production Planning & Control* 13(2), 143-154, 2002.

MLADENOVIC, N.; HANSEN, P. Variable Neighborhood Search. *Computers and Operations Research* 24, 1097-1100, 1997.

OCHI, L. S., DRUMMOND, L. M. A., VICTOR, A. O., VIANNA, D. S. A parallel evolutionary algorithm for solving the vehicle routing problem with heterogeneous fleet. *Future Generation Computer Systems* 14, 285-292, 1998.

PETROBRAS. Disponível em: <www.petrobras.com.br>. Acessado em maio de 2006.

RESENDE, M. G. C., RIBEIRO, C. C. Greedy randomized adaptive search procedures. In F. Glover e G. Kochenberger (eds.), *Handbook of Metaheuristics*. Kluwer, 219-249, 2003.

SCHRAGE, L. A more portable FORTRAN random number generator, *ACM Transactions on Mathematical Software* 5, 132-138, 1979.

SUMICHRAST, R., BAKER, J. R. Scheduling parallel processors: an integer linear programming based heuristic for minimizing setup time, *International Journal of Production Research* 25(5), 761-771, 1987.

VIANNA, D. S. ; COELHO, S. R. Otimização do Tempo de Espera das Embarcações no Porto de Imbetiba - Petrobrás. In: *XXXVIII Simpósio Brasileiro de Pesquisa Operacional*, Goiânia, 1814-1824, 2006.

VIANNA, D. S., OCHI, L. S., DRUMMOND, L. M. A. A parallel hybrid evolutionary metaheuristic for the period vehicle routing problem with heterogeneous fleet. *Lecture Notes in Computer Science* 1388, 216-225, 1999.